

РАСПРЕДЕЛЕНИЕ НУЛЕЙ ОБОБЩЕННЫХ ПОЛИНОМОВ ЭРМИТА

ПОСВЯЩАЕТСЯ 80-ЛЕТИЮ СО ДНЯ РОЖДЕНИЯ

И.Ф. КРАСИЧКОВА-ТЕРНОВСКОГО

В.Ю. НОВОКШЕНОВ, А.А. ЩЕЛКОНОГОВ

Аннотация. Вычисление асимптотики ортогональных полиномов является классической задачей анализа. В статье найдено асимптотическое распределение нулей обобщенных полиномов Эрмита $H_{m,n}(z)$ при $m = n$, $n \rightarrow \infty$, $z = O(\sqrt{n})$. Эти полиномы, представляющие собой вронскианы от классических полиномов Эрмита, возникают во многих задачах математической физики и теории случайных матриц. Вычисление асимптотики основано на применении задачи Римана к уравнению Пенлеве IV, решениями которого являются функции $u(z) = -2z + \partial_z \ln H_{m,n+1}(z)/H_{m+1,n}(z)$. В указанном скейлинговом пределе эта задача Римана имеет асимптотическое решение в элементарных функциях. В результате получаются формулы типа Планшереля-Ротаха для асимптотики классических полиномов Эрмита.

Ключевые слова: Обобщенные полиномы Эрмита, распределение нулей, уравнение Пенлеве IV, мероморфные решения, задача Римана, метод Дейффа-Жу, формулы Планшереля-Ротаха.

Mathematics Subject Classification: 30D35, 30E10, 33C75, 34M35, 34M55, 34M60

0. ВВЕДЕНИЕ

Обобщенные полиномы Эрмита $H_{m,n}(z)$ определяются соотношениями [17], [4]

$$H_{m,n}(z) = \det (P_{n-i+j}(z))_{i,j=1}^m, \quad (1)$$

где

$$P_s(z) = \sum_{i+2j=s} \frac{1}{6^j i! j!} z^i$$

или, в эквивалентной форме, как вронскианы классических полиномов Эрмита

$$H_{m,n}(z) = c_{m,n} \mathcal{W}(H_m(z), H_{m+1}(z), \dots, H_{m+n}(z)),$$

где $H_n(z) = (-1)^n e^{z^2} \frac{d^n}{dz^n} e^{-z^2}$, $c_{m,n}$ — нормировочные постоянные.

Подобно классическим ортогональным полиномам, они обладают многими замечательными свойствами. Например, ортогональные на вещественной оси с весом $w(x, z, m) = (x - z)^m \exp(-x^2)$ полиномы $p_n(x)$ удовлетворяют рекуррентному соотношению [3]

$$xp_n(x) = p_{n+1}(x) + a_n(z, m)p_n(x) + b_n(z, m)p_{n-1}(x),$$

V.YU. NOVOKSHENOV, A.A. SCHELKONOGOV, DISTRIBUTION OF ZEROES TO GENERALIZED HERMITE POLYNOMIALS.

© Новокшенов В.Ю., Щелконогов А.А. 2015.

Работа поддержана РФФ (грант 14-11-00078).

Поступила 24 августа 2015 г.

где

$$a_n(z, m) = -\frac{1}{2} \frac{d}{dz} \ln \frac{H_{n+1,m}}{H_{n,m}}, \quad b_n(z, m) = \frac{nH_{n+1,m}H_{n-1,m}}{2H_{n,m}^2}.$$

Другое свойство, которое будет использовано ниже, состоит в том, что логарифмические производные

$$u(z) = -2z + \frac{d}{dz} \ln \frac{H_{m,n+1}(z)}{H_{m+1,n}(z)} \quad (2)$$

доставляют рациональные решения четвертого уравнения Пенлеве (PIV)

$$u'' = \frac{(u')^2}{2u} + \frac{3}{2}u^3 + 4zu^2 + 2(z^2 - \alpha)u + \frac{\beta}{2u}, \quad (3)$$

с коэффициентами

$$\alpha = n - m, \quad \beta = -2(m + n + 1)^2.$$

Отметим также найденное недавно приложение, связанное с матричными моделями в статистической физике. Функция распределения собственных значений в *гауссовском унитарном ансамбле* [10] при условии фиксации n собственных значений λ_k и m -кратного вырождения $n + 1$ -го собственного значения $\lambda_{n+1} = z$ имеет вид

$$D_n(z) = \frac{1}{n!} \int_{-\infty}^{\infty} \dots \int_{-\infty}^{\infty} \prod_{1 \leq i < j \leq n} (\lambda_i - \lambda_j)^2 \prod_{k=1}^n (\lambda_k - z)^m e^{-\lambda_k^2} d\lambda_k. \quad (4)$$

С другой стороны, статистическая сумма (4) может рассматриваться как энергия основного состояния волновой функции $n + 1$ кулоновской частицы с $1/r^2$ отталкиванием во внешнем квадратичном поле [10]. При этом оказывается [3], что

$$D_n(z) = A_{m,n} H_{m,n}(cz), \quad c = i\sqrt{\frac{2}{3}}, \quad A_{m,n} = \text{const.}$$

Таким образом, нули обобщенных полиномов Эрмита отвечают координатам кулоновских частиц в равновесном состоянии, удерживаемых внешним квадратичным полем.

Вычисление асимптотического распределения нулей ортогональных полиномов восходит к работам классиков анализа конца XIX в., таких как Дарбу, Чебышев, Стеклов и Стилтес. В частности, для полиномов Эрмита это распределение вытекает из формул Планшереля-Ротаха [14], [16], гл. 8

$$e^{-z^2/2} H_n(z) = \frac{2^{\frac{n}{2} + \frac{1}{4}} \sqrt{n!}}{(\pi n)^{1/4} \sqrt{\sin \varphi}} \left\{ \sin \left[\left(\frac{n}{2} + \frac{1}{4} \right) (\sin 2\varphi - 2\varphi) + \frac{3\pi}{4} \right] + O(n^{-1}) \right\},$$

где $z = \sqrt{2n+1} \cos \varphi$, $\varepsilon \leq \varphi \leq \pi - \varepsilon$, $n \rightarrow \infty$ и

$$e^{-z^2/2} H_n(z) = \frac{2^{\frac{n}{2} - \frac{3}{4}} \sqrt{n!}}{(\pi n)^{1/4} \sqrt{\text{sh} \varphi}} \left\{ \exp \left[\left(\frac{n}{2} + \frac{1}{4} \right) (\text{sh} 2\varphi - 2\varphi) + \frac{3\pi}{4} \right] + O(n^{-1}) \right\},$$

где $z = \sqrt{2n+1} \text{ch} \varphi$, $\varepsilon \leq \varphi \leq \omega$, $n \rightarrow \infty$, ω — произвольная постоянная.

Отсюда следует, что нули $H_n(z)$ вещественны и расположены в области с характерным масштабом $O(\sqrt{2n})$.

Ниже мы будем вычислять распределения нулей полиномов $H_{m,n}(z)$ при

$$m = n, \quad n \rightarrow \infty, \quad z = O(\sqrt{n}). \quad (5)$$

Для этого, по примеру недавних работ [1], [2] и [13], мы используем рациональные решения (2) уравнения PIV (3). Нетрудно показать, что полюсы этого решения с вычетами $+1$ отвечают нулям полинома $H_{m,n+1}$, а полюсы с вычетами -1 совпадают с нулями полинома $H_{m+1,n}$. Далее, используя свойство полной интегрируемости уравнения PIV, можно сформулировать задачу Римана, отвечающую заданным рациональным решениям.

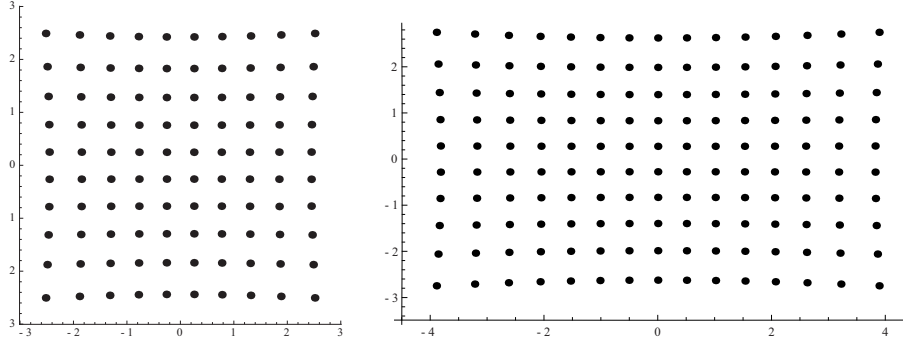


Рис. 1. Нули обобщенных полиномов Эрмита $H_{m,n}(z)$ при $m = n = 10$ (слева) и при $m = 15$ и $n = 10$ (справа)

Для этого в §1 мы вычислим данные монодромии и цепочку преобразований Беклунда, приводящих к решениям (2). Оказывается, что эта матричная задача очень похожа на соответствующую задачу Римана, применяемую для семейства ортогональных полиномов с экспоненциальным весом (§2). Метод асимптотического решения подобных задач состоит в предъявлении специального параметрикса, регуляризующего степенной рост на бесконечности с заменой его на стандартную нормировку на единичную матрицу. Этот метод, восходящий к работам П. Дейфта и других [5], в данном случае похож на процедуру, обслуживающую классические полиномы Эрмита. В §3 показано, что параметрикс строится в элементарных функциях, в отличие от случая полиномов Воробьева-Яблонского в уравнении РИ, приводящих к параметриксу в терминах тэта функций [1], [2]. В результате в §4 мы восстанавливаем решетку нулей обобщенных полиномов Эрмита в пределе (5), разрешая систему тригонометрических уравнений.

1. ПРЕОБРАЗОВАНИЯ БЕКЛУНДА И ВЫЧИСЛЕНИЕ ДАННЫХ МОНОДРОМИИ

Первыми интегралами уравнения РИВ служат данные монодромии, определяемые следующим образом [8], глава 5. Рассмотрим линейное матричное уравнение по дополнительному параметру λ

$$\Psi_\lambda = A(\lambda, z)\Psi, \tag{6}$$

где $\Psi = \Psi(\lambda, z)$ является 2×2 — матричной функцией, а $A(\lambda, z)$ рациональна по λ

$$A = \lambda \begin{pmatrix} 1 & 0 \\ 0 & -1 \end{pmatrix} + \begin{pmatrix} z & y \\ 2(uw + \theta_0 - \theta_\infty)y^{-1} & -z \end{pmatrix} + \frac{1}{\lambda} \begin{pmatrix} -uw + \theta_0 & -yw/2 \\ 2(uw - 2\theta_0)y^{-1} & uw - \theta_0 \end{pmatrix}.$$

Здесь u, w и y являются функциями от z , удовлетворяющими нелинейным уравнениям

$$\begin{cases} \frac{d}{dz} \log y = -u - 2z, \\ \begin{cases} \frac{du}{dz} = -4uw + u^2 + 2zu + 4\theta_0, \\ \frac{dw}{dz} = 2w^2 - 2uw - 2zw + \theta_0 + \theta_\infty. \end{cases} \end{cases} \tag{7}$$

Уравнения (7) эквивалентны уравнению РИВ (3) на функцию $u = u(z)$ с коэффициентами

$$\alpha = 2\theta_\infty - 1, \quad \beta = -8\theta_0^2.$$

Данные монодромии определяются матрицами Стокса для решений Ψ уравнения (6)

$$\Psi_{j+1}(\lambda, z) = \Psi_j(\lambda, z)S_j, \quad j = 1, 2, 3, 4. \quad (8)$$

Здесь четыре фундаментальных решения Ψ_j уравнения (6) выбираются из условий аналитичности по λ в секторе Ω_j ,

$$\Omega_j = \{\lambda \mid -\pi/4 + \pi j/2 < \arg \lambda < \pi/4 + \pi j/2, \quad j = 1, 2, 3, 4\},$$

и нормировки на бесконечности

$$\Psi_j(\lambda, z) = (I + O(\lambda^{-1})) \exp \left\{ \left(\frac{\lambda^2}{2} + z\lambda \right) \sigma_3 \right\} \lambda^{-\theta_\infty \sigma_3}, \quad (9)$$

$$\lambda \rightarrow \infty, \quad \lambda \in \Omega_j, \quad \sigma_3 = \begin{pmatrix} 1 & 0 \\ 0 & -1 \end{pmatrix}.$$

Основным свойством матриц Стокса S_j (8) выступает их независимость от z тогда и только тогда, когда u , w и y удовлетворяют системе (7) или, что эквивалентно, $u = u(z)$ является решением уравнения PIV (3) ([8], [11]). Таким образом, скалярные элементы этих матриц s_1, s_2, s_3 and s_4

$$S_{2k} = \begin{pmatrix} 1 & s_{2k} \\ 0 & 1 \end{pmatrix}, \quad S_{2k-1} = \begin{pmatrix} 1 & 0 \\ s_{2k-1} & 1 \end{pmatrix}, \quad k = 1, 2,$$

становятся *интегралами движения* (первыми интегралами) уравнения PIV (3). Очевидно, что они не независимы, поскольку уравнение второго порядка имеет только два независимых первых интеграла. В самом деле, для данных монодромии справедливо соотношение [8], глава 5

$$(1 + s_2 s_3) e^{2\pi i \theta_\infty} + (s_1 s_4 + (1 + s_3 s_4)(1 + s_1 s_2)) e^{2\pi i \theta_0} = 2 \cos(2\pi \theta_0), \quad (10)$$

которое вытекает из условия цикличности при итерации уравнений монодромии (8)

$$S_1 S_2 S_3 S_4 e^{2\pi i \theta_\infty \sigma_3} = T e^{2\pi i \theta_0 \sigma_3} T^{-1}, \quad \det T = 1.$$

Обратная задача теории монодромии для уравнения PIV состоит в нахождении Ψ_j , удовлетворяющих условиям (8) и (9) с заданными данными монодромии s_1, s_2, s_3, s_4 при условии (10). Если такие функции существуют, то решение уравнения PIV (3) вычисляется по формуле ([8], глава 5)

$$u(z) = -2z - \lim_{\lambda \rightarrow \infty} \left(\lambda \partial_z \Psi_1(\lambda, z) \exp \left\{ - \left(\frac{\lambda^2}{2} + z\lambda \right) \sigma_3 \right\} \lambda^{-\theta_\infty \sigma_3} \right)_{12}, \quad (11)$$

где нижний индекс $_{12}$ обозначает элемент (1, 2) матрицы Ψ_1 .

Приступая к решению этой задачи при $z \rightarrow \infty$, сначала вычислим величины s_j для рациональных решений (2). Для этого воспользуемся рекуррентными соотношениями для обобщенных полиномов Эрмита. Все $H_{m,n}$ связаны равенствами [4]

$$\begin{cases} 2m H_{m+1,n} H_{m-1,n} = H_{m,n} H''_{m,n} - (H'_{m,n})^2 + 2m H_{m,n}^2, \\ 2n H_{m,n+1} H_{m,n-1} = -H_{m,n} H''_{m,n} + (H'_{m,n})^2 + 2n H_{m,n}^2, \end{cases} \quad (12)$$

с "начальными условиями"

$$H_{0,0} = H_{0,1} = H_{1,0} = 1, \quad H_{1,1} = 2z. \quad (13)$$

Соответствующие рациональные решения PIV (2)

$$u_{m,n}(z) = -2z + \frac{d}{dz} \ln \frac{H_{m,n+1}(z)}{H_{m+1,n}(z)} \quad (14)$$

также удовлетворяют рекурренциям, называемым *преобразованиями Беклунда*. Это нелинейные преобразования $\tilde{u}(z) = \mathcal{R}(u'(z), u(z), z)$, переводящие решение $u(z)$ в решение $\tilde{u}(z)$ уравнения PIV, возможно, с другими коэффициентами α, β .

Рассмотрим пару преобразований Беклунда [4]

$$\begin{aligned} \mathcal{R}_2 : \quad \tilde{u} &= \frac{(u' - \sqrt{-2\beta})^2 + (4\alpha - 4 - 2\sqrt{-2\beta})u^2 - u^2(u + 2z)^2}{2u(u^2 + 2zu + u' - \sqrt{-2\beta})}, \\ \mathcal{R}_3 : \quad \tilde{u} &= \frac{(u' - \sqrt{-2\beta})^2 - (4\alpha + 4 + 2\sqrt{-2\beta})u^2 - u^2(u + 2z)^2}{2u(u^2 + 2zu - u' + \sqrt{-2\beta})}. \end{aligned} \tag{15}$$

Оказывается, что композиция преобразований $\mathcal{R}_6 = \mathcal{R}_2\mathcal{R}_3$ переводит коэффициенты (α, β) в $(\alpha, -\frac{1}{2}(4 + \sqrt{-2\beta})^2)$, а параметры $(\theta_0, \theta_\infty)$ – в $(\theta_0 + 2, \theta_\infty)$ соответственно. Нетрудно проверить, что для рациональных решений (14) с коэффициентами $\alpha = n - m$, $\beta = -2(m + n + 1)^2$ в результате получаются решения

$$\tilde{u}(z) = \mathcal{R}_6(u'_{m,n}(z), u_{m,n}(z), z) = u_{m+1, n+1}(z).$$

В терминах Ψ -функций и "уравнения по λ " (6) преобразования Беклунда отвечают левому умножению на матрицы, рациональные по $\sqrt{\lambda}$ ("одевание" лаксовой пары [8], гл. 6)

$$\tilde{\Psi} = \mathbf{R}_6(\lambda)\Psi.$$

Для преобразований (15) эти матрицы имеют вид

$$\begin{aligned} \mathbf{R}_2(\lambda) &= \begin{pmatrix} 1 & 0 \\ 0 & 0 \end{pmatrix} \lambda^{1/2} + \begin{pmatrix} y & \frac{y}{2} \\ \frac{2y}{u} & 1 \end{pmatrix} \lambda^{-1/2}, \\ \mathbf{R}_3(\lambda) &= \begin{pmatrix} 0 & 0 \\ 0 & 1 \end{pmatrix} \lambda^{1/2} + \begin{pmatrix} 1 & \frac{u}{2y} \\ -\frac{yw - \theta_0 - \theta_\infty}{y} & -\frac{wy - \theta_0 - \theta_\infty}{2y} \end{pmatrix} \lambda^{-1/2}, \\ \mathbf{R}_6(\lambda) &= \mathbf{R}_2(\lambda)\mathbf{R}_3(\lambda) \end{aligned} \tag{16}$$

где постоянные по λ величины y, u и w удовлетворяют системе (7). Прямая проверка с помощью "уравнения по λ " (6) показывает эквивалентность (16) и (15).

Достаточно вычислить s_j для случая (13). Выберем $m = n = 0$, тогда из уравнений (14) и (13) находим $u_{0,0}(z) = u(z) = -2z$. Разрешая остальные уравнения (7), имеем

$$y(z) = w(z) = 1, \quad u(z) = -2z. \tag{17}$$

Подставляя величины (17) вместе с $z = 0$ в "уравнение по λ " (6), получим треугольную матрицу

$$A = \begin{pmatrix} \lambda + \frac{1}{2\lambda} & 1 \\ 0 & -\lambda - \frac{1}{2\lambda} \end{pmatrix}.$$

Тем самым, уравнение (6) решается в явном виде

$$\Psi_j(\lambda, 0) = \begin{pmatrix} \lambda^{1/2} e^{\frac{\lambda^2}{2}} & \lambda^{1/2} e^{\frac{\lambda^2}{2}} \int_{\lambda}^{\infty} \frac{e^{-\xi^2}}{\xi} d\xi \\ 0 & \lambda^{-1/2} e^{-\frac{\lambda^2}{2}} \end{pmatrix}, \quad \lambda \in \Omega_j, \tag{18}$$

а интегрирование производится по лучам $\arg \lambda = \frac{\pi}{4} + \frac{\pi}{2}j, j = 1, 2, 3, 4$.

Теорема 1. *Данные монодромии s_j для "уравнения по λ " (6) с коэффициентами (17), отвечающими решению $u(z) = u_{0,0} = -2z$, имеют вид*

$$s_1 = s_3 = 0, \quad s_2 = 2\pi i, \quad s_4 = -2\pi i. \tag{19}$$

Доказательство. В силу верхней треугольности матриц Ψ_j (18) уравнения скачка (8) также имеют верхнетреугольные решения. Отсюда $S_1 = S_3 = I$, так что для нечетных $j = 1, 3$ данные монодромии равны нулю. Для вычисления S_2 и S_4 заметим, что

$$\Psi_3 = \Psi_2 S_2 = \Psi_1 S_1 S_2 = \Psi_1 S_2.$$

Тогда

$$s_2 = (\Psi_3 \Psi_1^{-1})_{12} = \int_{\infty e^{5\pi/4i}}^{\infty e^{\pi/4i}} \frac{e^{-\frac{\xi^2}{2}}}{\xi} d\xi,$$

где контур интегрирования обходит начало координат сверху. Тем самым контур для интегральной показательной функции в этой формуле деформируется в обход начала координат в отрицательном направлении, что дает $s_2 = -2\pi i$. Аналогично вычисляется s_4 . \square

Сформулируем теперь задачу Римана, которая будет использоваться ниже для вычисления решений уравнения PIV (14). Заметим сначала, что в силу Теоремы 1 $\Psi_1 = \Psi_2$ и $\Psi_3 = \Psi_4$, поскольку на лучах $\arg \lambda = 3\pi/4$ и $\arg \lambda = 7\pi/4$ скачки отсутствуют. Кроме того, условие сопряжения (8) можно перенести с лучей $\arg \lambda = \pi/4$ и $\arg \lambda = 5\pi/4$ на вещественную ось, что не противоречит нормировке (9).

Сделаем сначала замену переменных, учитывая большие параметры $z = O(\sqrt{n})$, $n = m \rightarrow \infty$ (5)

$$z = x\sqrt{n}, \quad \lambda = (\xi - x)\sqrt{n}, \quad \Theta = \frac{1}{2}(\xi^2 - x^2). \quad (20)$$

Введем новые матричные функции

$$Y_+(\lambda, z) = \Psi_4(\lambda, z) \exp \left\{ - \left(\frac{\lambda^2}{2} + z\lambda \right) \sigma_3 \right\} \lambda^{-\theta_\infty \sigma_3}, \quad (21)$$

$$Y_-(\lambda, z) = \Psi_2(\lambda, z) \exp \left\{ - \left(\frac{\lambda^2}{2} + z\lambda \right) \sigma_3 \right\} \lambda^{-\theta_\infty \sigma_3}.$$

Функции Y_+ и Y_- удовлетворяют следующим условиям

1 Матричная функция $Y_+(\xi, x)$ аналитична по ξ в верхней полуплоскости $\text{Im } \xi > 0$, а $Y_-(\xi, x)$ – в нижней полуплоскости $\text{Im } \xi < 0$

2

$$Y_+(\xi, x) = Y_-(\xi, x) \begin{pmatrix} 1 & 2\pi i e^{-2n\Theta(\xi, x)} \\ 0 & 1 \end{pmatrix}, \quad \xi \in \mathbb{R} \quad (22)$$

3

$$Y_\pm(\xi, x) = (I + O(\xi^{-1})) \begin{pmatrix} \xi^{2n} & 0 \\ 0 & \xi^{-2n} \end{pmatrix}, \quad \xi \rightarrow \infty$$

$Y(\xi, x)$

Здесь мы сдвинули контур сопряжения $\mathbb{R} \mapsto \mathbb{R} + x$, поскольку матрица сопряжения аналитична в полосе $|\text{Im } \xi| \leq |x|$, $x = O(1)$. Отметим также, что условие нормировки 3 возникает здесь ввиду n -кратного применения преобразований Беклунда (16) к матрицам Ψ_j (18). В самом деле, в силу конструкции матриц $\mathbf{R}_2(\lambda)$ и $\mathbf{R}_3(\lambda)$ их произведение домножает $(\Psi)_{11}$ на λ , а $(\Psi)_{22}$ на λ^{-1} .

Теперь формула обращения для решения уравнения PIV приобретает более простой вид.

Теорема 2. Пусть матрицы Y_\pm доставляют решение задачи Римана (22), тогда функция

$$u_{n,n}(z) = -2x\sqrt{n} - \lim_{\xi \rightarrow \infty} (\xi \partial_x Y_+(\xi, x))_{12}, \quad z = x\sqrt{n}, \quad (23)$$

является решением уравнения PIV (3), отвечающим данным монодромии (19).

Доказательство. По матрицам Y_{\pm} восстанавливаются матрицы Ψ_j , удовлетворяющие условиям (8) и (9) с данными монодромии (19). Тогда выполняется "уравнение по λ " (6) и справедлива формула обращения (11), которая совпадает с (23). \square

2. ОРТОГОНАЛЬНЫЕ ПОЛИНОМЫ С ЭКСПОНЕНЦИАЛЬНЫМ ВЕСОМ

Прежде чем переходить к асимптотическому исследованию задачи Римана (22), укажем на ее связь с классическими ортогональными полиномами. Пусть $\{\mathcal{H}_k(\xi)\}_{k=1}^{\infty}$ – множество полиномов $\mathcal{H}_k(\xi) = \xi^k + \dots$, ортогональных на вещественной оси с мерой $e^{-nV(\xi)}d\xi$

$$\int_{\mathbb{R}} \mathcal{H}_j(\xi)\mathcal{H}_k(\xi)e^{-nV(\xi)}d\xi = 0, \quad j \neq k,$$

где $V(\xi) = \xi^{2l} + \dots$ – полином четной степени. Определим матрицы

$$Y^{(q)}(\xi) = \begin{pmatrix} \mathcal{H}_q(\xi) & \frac{1}{2\pi i} \int_{\mathbb{R}} \frac{\mathcal{H}_q(s)e^{-nV(s)}}{s - \xi} ds \\ \gamma_{q-1}\mathcal{H}_{q-1}(\xi) & \frac{\gamma_{q-1}}{2\pi i} \int_{\mathbb{R}} \frac{\mathcal{H}_{q-1}(s)e^{-nV(s)}}{s - \xi} ds \end{pmatrix}, \quad \text{Im } \xi \neq 0, \quad (24)$$

где постоянные γ_{q-1} являются нормировочными константами в условии ортогональности

$$\gamma_{q-1} = -2\pi i \left(\int_{\mathbb{R}} \mathcal{H}_{q-1}^2(s)e^{-nV(s)}ds \right)^{-1}.$$

Оказывается, что матрицы (24) доставляют решение следующей задачи Римана ([9], [5], гл. 3.2)

$$\left. \begin{aligned} & \bullet Y_+^{(q)}(\xi) \text{ аналитична при } \text{Im } \xi > 0, \text{ а } Y_-^{(q)}(\xi) \text{ аналитична при } \text{Im } \xi < 0 \\ & \bullet Y_+^{(q)}(\xi) = Y_-^{(q)}(\xi) \begin{pmatrix} 1 & e^{-nV(\xi)} \\ 0 & 1 \end{pmatrix}, \quad \xi \in \mathbb{R} \\ & \bullet Y_{\pm}^{(q)}(\xi, x) = (I + O(\xi^{-1})) \begin{pmatrix} \xi^q & 0 \\ 0 & \xi^{-q} \end{pmatrix}, \quad \xi \rightarrow \infty \end{aligned} \right| Y^{(q)}(\xi)$$

В случае $V(\xi) = \xi^2$ полиномы $\mathcal{H}_q(\xi)$ совпадают с полиномами Эрмита $H_q(\xi) = (-1)^q e^{\xi^2} \frac{d^q}{d\xi^q} e^{-\xi^2}$, а задача Римана может быть использована для вычисления асимптотики полиномов Эрмита при $q = n$, $n \rightarrow \infty$ ([5], §7.4). При этом нормировочные константы γ_q имеют вид

$$\gamma_{q-1} = \left(Y_1^{(q)} \right)_{21} = -i \frac{2^q \sqrt{\pi} n^{(q-1)/2}}{(q-1)!}, \quad (25)$$

где $Y^{(q)}(\xi) = \left(I + Y_1^{(q)} \xi^{-1} + \dots \right) \xi^{(q-1)\sigma_3}$.

Также на этом пути воспроизводятся формулы Планшереля-Ротаха, упомянутые во введении [5], [12]. Поскольку полиномы Эрмита имеют нули только на вещественной оси, строки матрицы $Y^{(n)}$ не обращаются в нуль в верхней (нижней) полуплоскости, то есть матрицы всюду невырождены, и задача Римана однозначно разрешима.

Ситуация становится сложнее, когда экспоненциальный вес становится зависящим от параметра. В самом деле, заменяя $V(\xi)$ на $\Theta(\xi, x) = \xi^2 + 2\xi x$, рассмотрим интегралы Коши во втором столбце матрицы $Y^{(n)}$

$$\frac{1}{2\pi i} \int_{\mathbb{R}} \frac{\mathcal{H}_n(s, x)e^{-n(s^2+2sx)}}{s - \xi} ds = \frac{\mathcal{H}_n(-x, x)e^{-nx^2}}{2i\pi^{5/4}\sqrt{2xn}(-x - \xi)} (1 + O(n^{-1})), \quad n \rightarrow \infty.$$

Здесь мы воспользовались методом перевала, деформировав контур интегрирования так, чтобы он проходил через точку $s = -x$, $\text{Im } x \neq 0$, так что выполняется условие перевала

$\partial_s(s^2 + 2sx) = 0$. Пусть $\mathcal{H}_n(-x, x) = 0$, тогда первая строка матрицы (24) становится нулевой при $\xi = -x$. Таким образом, матрицы $Y_{\pm}^{(n)}$ становятся вырожденными в этой точке и не дают решения задачи Римана.

Указанная ситуация является следствием теоремы Биркгофа-Гротендика о факторизации матрицы, голоморфно зависящей от параметра [8], прил. В.

3. АСИМПТОТИЧЕСКОЕ "РАЗДЕВАНИЕ" ЗАДАЧИ РИМАНА

В этом параграфе мы вычисляем решение задачи Римана (22) при $n \rightarrow \infty$. Несмотря на то, что эта задача Римана включает только верхнетреугольные матрицы, ее решение не сводится к последовательности скалярных задач сопряжения аналитических функций. Причина состоит в условии нормировки 3. В самом деле, можно было бы избавиться от степенного роста на бесконечности, введя матрицы $\tilde{Y}_{\pm} = Y_{\pm} \text{diag}(z^{-2n}, z^{2n})$. Тогда матрицы \tilde{Y}_{\pm} приобретут стандартную нормировку на единичную матрицу $\tilde{Y}_{\pm} \rightarrow I$ при $\xi \rightarrow \infty$, однако появится полюс $2n$ -го порядка в нуле. Это обстоятельство препятствует применению интеграла Коши к задаче сопряжения (22).

Для регуляризации на бесконечности матриц Y_{\pm} применяется другой способ, изобретенный Перси Дейфтом и другими в [5], [6], [7]. Он состоит в применении специального параметрикса, называемого g -функцией. В нашем случае это аналитическая функция, удовлетворяющая условиям

$$\begin{array}{l}
 \bullet g(\xi) = \int_{-a}^a \ln(\xi - s)\rho(s)ds, \quad a \in \mathbb{R}, \quad a = O(1) \\
 \bullet g_{\pm}(\xi) = \int_{-a}^a \ln|\xi - s|\rho(s)ds \pm \pi i \chi_{\xi \leq a} \int_{\xi}^a \rho(s)ds \text{ при } \xi \in (-a, a), \chi_{\xi \leq a} - \\
 \quad \text{характеристическая функция } [\xi, a] \\
 \bullet g(\xi) = \ln \xi + O(\xi^{-1}), \quad \xi \rightarrow \infty \\
 \bullet e^{ng(\xi)} \text{ аналитична в } \mathbb{C}/[-a, a] \\
 \bullet e^{ng(\xi)} = \xi^n (1 + O(\xi^{-1})), \quad \xi \rightarrow \infty
 \end{array} \quad \left. \vphantom{\begin{array}{l} \bullet \\ \bullet \\ \bullet \\ \bullet \\ \bullet \end{array}} \right| g(\xi) \quad (26)$$

Функция $\rho(s)$ имеет смысл вероятностной меры $d\mu = \rho(s)ds$, минимизирующей функционал

$$\mathcal{F} = \int_{\mathbb{R}} \xi^2 d\mu(\xi) + \int_{\mathbb{R}^2} \ln|\xi - s|^{-1} d\mu(\xi) d\mu(s), \quad x = \text{const.}$$

Теорема 3. ([15], гл.5) При $\partial_{\xi}^2 \Theta(\xi, x) \geq 0$ носитель меры $d\mu = \rho(s)ds$ сосредоточен на отрезке $\text{supp } \rho \in [-a, a]$. Имеют место соотношения

$$2\Theta(\xi, x) + 2 \int_{\mathbb{R}} \ln|\xi - s|^{-1} \rho(s)ds + \ell + x^2 \geq 0, \quad \xi \in \mathbb{R},$$

$$2\Theta(\xi, x) + 2 \int_{\mathbb{R}} \ln|\xi - s|^{-1} \rho(s)ds + \ell x^2 \equiv 0, \quad \xi \in [-a, a],$$

где

$$\ell = -2 \int_{-a}^a \ln|\xi - s|^{-1} \rho(s)ds - \xi^2, \quad -a < \xi < a. \quad (27)$$

Определим функцию

$$\varphi(\xi) \equiv \xi^2 - 2g(\xi) + \ell, \quad (28)$$

и новую кусочно-аналитическую матрицу

$$W(\xi, x) \equiv e^{n\ell\sigma_3} Y(\xi, x) e^{-ng(\xi)\sigma_3} e^{-n\ell\sigma_3}, \quad \xi \in \mathbb{C}/\mathbb{R}. \quad (29)$$

Тогда для W выполняется следующая задача Римана

$$\left. \begin{aligned} &\bullet W(\xi, x) \text{ аналитична по } \xi \text{ в } \mathbb{C}/\mathbb{R} \\ &\bullet W_+(\xi, x) = W_+(\xi, x) \begin{pmatrix} e^{n(\varphi_+ - \varphi_-)} & e^{-n(\varphi_+ + \varphi_-)} \\ 0 & e^{-n(\varphi_+ - \varphi_-)} \end{pmatrix}, \quad \xi \in \mathbb{R} \\ &\bullet W_{\pm}(\xi, x) = I + O(\xi^{-1}), \text{ при } \xi \rightarrow \infty \end{aligned} \right\} W(\xi, x) \quad (30)$$

Тем самым задача сведена к задаче Римана со стандартной единичной нормировкой на бесконечности. Здесь φ_+ и φ_- , как обычно, представляют собой граничные значения на вещественной оси из верхней и нижней полуплоскостей соответственно. Перечислим свойства этих граничных значений в виде теоремы П. Дейффа

Теорема 4. ([5], гл. 7.5). Для граничных значений функции φ (28) справедливы свойства

$$\begin{aligned} 1) \quad &\frac{-\varphi_+ + \varphi_-}{2} = g_+(\xi) - g_-(\xi) = 2\pi i \int_{\xi}^{\infty} \rho(s) ds \text{ при } \xi \in \mathbb{R} \\ 2) \quad &-\frac{1}{2} \text{Im } \varphi_+ = \text{Im } g_+(\xi) = \pi \int_{-\infty}^{\xi} \rho(s) ds - \pi \text{ при } \xi \in [-a, a] \\ 3) \quad &\frac{\varphi_+ + \varphi_-}{2} = \text{Re } \varphi = \xi^2 - g_+ - g_- + \ell \equiv 0 \text{ при } \xi \in [-a, a] \\ 4) \quad &\frac{\varphi_+ + \varphi_-}{2} = \text{Re } \varphi = \xi^2 - g_+ - g_- + \ell \geq 0 \text{ при } \xi \notin [-a, a] \end{aligned}$$

Заметим, что свойство 2 означает, что $\text{Re } \varphi_+$ убывает при $\text{Im } \xi \rightarrow +\infty$ в силу уравнения Коши-Римана $u_y = -v_x$, $\varphi = u + iv$. Аналогично, $\text{Re } \varphi_-$ убывает при $\text{Im } \xi \rightarrow -\infty$, поскольку $\text{Im } \varphi_- = -\text{Im } \varphi_+$.

Матрица сопряжения, фигурирующая в (30), допускает разложение на множители [5], гл. 7.6

$$\begin{pmatrix} e^{n(\varphi_+ - \varphi_-)} & e^{-n(\varphi_+ + \varphi_-)} \\ 0 & e^{-n(\varphi_+ - \varphi_-)} \end{pmatrix} = \quad (31)$$

$$= \begin{pmatrix} 1 & 0 \\ e^{2n\varphi_-} & 1 \end{pmatrix} \begin{pmatrix} 0 & e^{-n(\varphi_+ + \varphi_-)} \\ -e^{n(\varphi_+ + \varphi_-)} & 0 \end{pmatrix} \begin{pmatrix} 1 & 0 \\ e^{2n\varphi_+} & 1 \end{pmatrix}.$$

Таким образом, задачу (30) можно переписать в виде

$$\Phi_+ = \Phi_- \begin{pmatrix} 0 & e^{-n(\varphi_+ + \varphi_-)} \\ -e^{n(\varphi_+ + \varphi_-)} & 0 \end{pmatrix}, \quad \xi \in \mathbb{R}, \quad (32)$$

$$\Phi_{\pm}(\xi, x) \rightarrow I, \quad \xi \rightarrow \infty,$$

где

$$\Phi_{\pm}(\xi, x) \equiv W_{\pm}(\xi, x) \begin{pmatrix} 1 & 0 \\ \mp e^{2n\varphi} & 1 \end{pmatrix}, \quad \text{Im } \xi \gtrless 0. \quad (33)$$

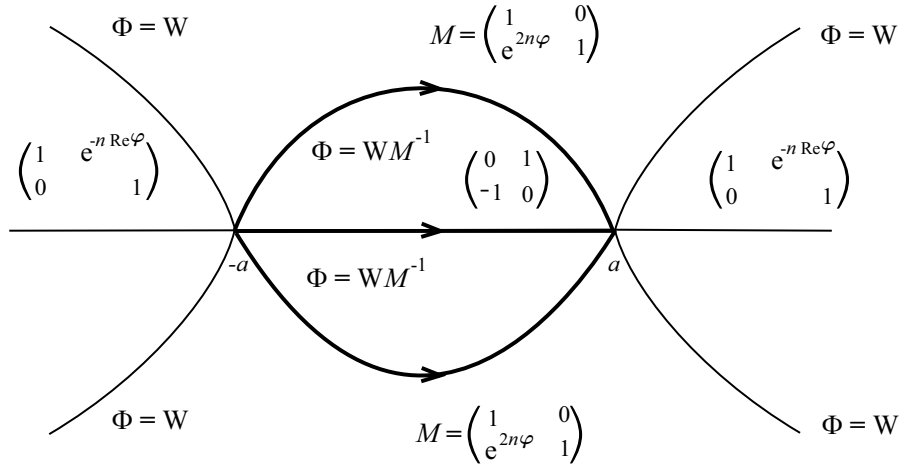


РИС. 2. Регуляризация задачи Римана (22) по Дейфту-Жу. Матрицы скачков отвечают соответствующим линиям Стокса.

В силу теоремы 4 $\varphi_+ + \varphi_- \equiv 0$ при $\xi \in [-a, a]$, а при $\xi \in \mathbb{R} \setminus [-a, a]$ величина $\varphi_+ + \varphi_-$ неотрицательна. Поэтому задача Римана для матриц Φ и W выглядит так, как изображено на рис. 2. Нетрудно проверить, что все матрицы сопряжения за пределами "линзы" $\text{Re } \varphi < 0$, отмеченной жирными линиями, экспоненциально близки к единичным, поскольку внедиагональные экспоненты в них малы порядка $O(e^{-n|\varphi|})$. Отдельного рассмотрения заслуживают окрестности граничных точек $\xi = a$ и $\xi = -a$. Однако оказывается, что там значения Φ аналитически продолжаются в решения Φ для внутренней "линзы" [5], гл. 7.6.

Тем самым, в главном порядке по n решение задачи Римана (32) дается матрицей Φ , удовлетворяющей модельной задаче

$$\Phi_+ = \Phi_- \begin{pmatrix} 0 & 1 \\ -1 & 0 \end{pmatrix}, \quad \xi \in [-a, a], \quad (34)$$

$$\Phi_{\pm}(\xi) \rightarrow I, \quad \xi \rightarrow \infty.$$

Решение задачи (34) дается явной формулой [6]

$$\Phi(\xi) = \frac{1}{2} \begin{pmatrix} 1 & -i \\ i & -1 \end{pmatrix} \left(\frac{\xi - a}{\xi + a} \right)^{\frac{1}{4}\sigma_3} \begin{pmatrix} 1 & -i \\ i & -1 \end{pmatrix}. \quad (35)$$

Теперь для представления главного члена асимптотики $Y(\lambda, z)$ нам осталось вычислить величины $g(\xi)$, $\rho(s)$ и a , фигурирующие в задачах (26), (30) и теоремах 3) и 4. Эти величины также даются явными формулами, следуя методике [5], §7.3. Опуская детали, приведем лишь ответы

$$\rho(\xi) = \frac{1}{\pi} \sqrt{a^2 - \xi^2} + \frac{x}{\pi} \sqrt{\frac{a - \xi}{a + \xi}}, \quad (36)$$

$$g(\xi) = -\ln \left(\xi - \sqrt{\xi^2 - a^2} \right) + \frac{1}{4} \left(\xi - \sqrt{\xi^2 - a^2} \right)^2. \quad (37)$$

$$a = \sqrt{2}. \quad (38)$$

Вычисления величин $\rho(\xi)$, $g(\xi)$ и a основаны на явном решении скалярной задачи Римана (26), а также на формуле обращения, вытекающей из (23). В самом деле, выполнение условий задачи (26) легко проверяется из явных формул (36) и (37).

Объединяя формулы полученные выше в этом параграфе, об асимптотиках решения задач Римана (30), (32) и (34), приходим к следующей теореме.

Теорема 5. ([6]) *Решение задачи Римана (22) имеет следующие асимптотики*

1) *Вне "линзы" $\operatorname{Re} \varphi < 0$:*

$$Y(\lambda, z) = e^{n\ell\sigma_3} \Phi(\xi) e^{n(2g-\ell)\sigma_3} (I + O(n^{-1}), \quad n \rightarrow \infty,$$

2) *Внутри "линзы" $\operatorname{Re} \varphi > 0$:*

$$Y(\lambda, z) = e^{n\ell\sigma_3} \Phi(\xi) \begin{pmatrix} 1 & 0 \\ e^{2n\varphi} & 1 \end{pmatrix} e^{n(2g-\ell)\sigma_3} (I + O(n^{-1}), \quad n \rightarrow \infty,$$

где $\Phi(\xi)$ определена формулой (35), а φ и ℓ - формулами (27) и (28).

4. ФОРМУЛА ОБРАЩЕНИЯ И АСИМПТОТИКА НУЛЕЙ

Главный член асимптотики решения задачи Римана, приведенный в теореме 5, позволяет вычислить асимптотику полиномов $H_{n,n}(\lambda)$ с экспоненциальным весом, отвечающих этой задаче. Начнем со случая 1), когда $|\xi| > \sqrt{2}$, то есть $|z| > \sqrt{2n}$. Согласно явному представлению (24) для матрицы Y и выражению (37) для функции g

$$H_{n,n}(z) = (Y)_{11}(z, x) = \Phi_{11}(\xi) e^{2ng(\xi)} (I + O(n^{-1}), \quad \xi = x, \quad z = x\sqrt{n},$$

что дает окончательно при $n \rightarrow \infty$ и $|x| > \sqrt{2}$

$$H_{n,n}(x\sqrt{n}) \approx \frac{1}{2} \left[\left(\frac{x - \sqrt{2}}{x + \sqrt{2}} \right)^{\frac{1}{4}} + \left(\frac{x + \sqrt{2}}{x - \sqrt{2}} \right)^{\frac{1}{4}} \right] \frac{e^{\frac{n}{4}(x - \sqrt{x^2 - 2})^2}}{(x - \sqrt{x^2 - 2})^n}. \quad (39)$$

В случае 2) при $|\xi| < \sqrt{2}$ дополнительный матричный множитель в теореме 5 дает

$$H_{n,n}(z) = (Y)_{11}(z, x) = (\Phi_{11,+}(\xi) + \Phi_{12,+}(\xi) e^{n\varphi_+}) e^{2ng_+(\xi)} (I + O(n^{-1}), \\ \xi = x, \quad z = x\sqrt{n}.$$

Учитывая, что $\Phi_{11,+} = \overline{\Phi_{12,+}}$ в силу формулы (35) и $g_+(\xi) = i\pi \int_x^{\sqrt{2}} \rho(s) ds$, имеем

$$H_{n,n}(x\sqrt{n}) \approx \frac{1}{2} \left[\left(\frac{x - \sqrt{2}}{x + \sqrt{2}} \right)^{\frac{1}{4}} \cos \left(n\pi \int_x^{\sqrt{2}} \rho(s) ds + \frac{\pi}{4} \right) + \right. \\ \left. + \left(\frac{x + \sqrt{2}}{x - \sqrt{2}} \right)^{\frac{1}{4}} \cos \left(n\pi \int_x^{\sqrt{2}} \rho(s) ds - \frac{\pi}{4} \right) \right] \exp \left\{ n \int_{-\sqrt{2}}^{\sqrt{2}} \ln |x - s| \rho(s) ds \right\}. \quad (40)$$

Из асимптотик (39) и (40) следует, что нули полиномов $H_{n,n}(z)$ сосредоточены в области $|z| < \sqrt{2n}$. Их расположение определяется занулением квадратной скобки в формуле (40)

$$\operatorname{tg} \left(n\pi \int_x^{\sqrt{2}} \rho(s) ds + \frac{\pi}{4} \right) = - \left(\frac{x - \sqrt{2}}{x + \sqrt{2}} \right)^{\frac{1}{2}}. \quad (41)$$

Вычисляя интеграл в аргументе тангенса, имеем из выражения для $\rho(\xi)$ (36)

$$\pi \int_x^{\sqrt{2}} \rho(s) ds = \frac{3}{2} x \sqrt{2 - x^2} + (x\sqrt{2} - 1) \operatorname{Arctg} \frac{x}{\sqrt{2 - x^2}}. \quad (42)$$

Приравнивая вещественные и мнимые части в (41), получим в итоге

$$\begin{aligned} \operatorname{Re} \left(\frac{3}{2}x\sqrt{2-x^2} + (x\sqrt{2}-1) \operatorname{arctg} \frac{x}{\sqrt{2-x^2}} \right) &= \frac{1}{n} \left(\operatorname{Re} \operatorname{arctg} \frac{x-\sqrt{2}}{x+\sqrt{2}} + \pi j \right), \\ \operatorname{Im} \left(\frac{3}{2}x\sqrt{2-x^2} + (x\sqrt{2}-1) \operatorname{arctg} \frac{x}{\sqrt{2-x^2}} \right) &= \frac{1}{n} \left(\operatorname{Im} \operatorname{arctg} \frac{x-\sqrt{2}}{x+\sqrt{2}} + \pi k \right), \end{aligned} \quad (43)$$

где $j, k \in \mathbb{Z}$.

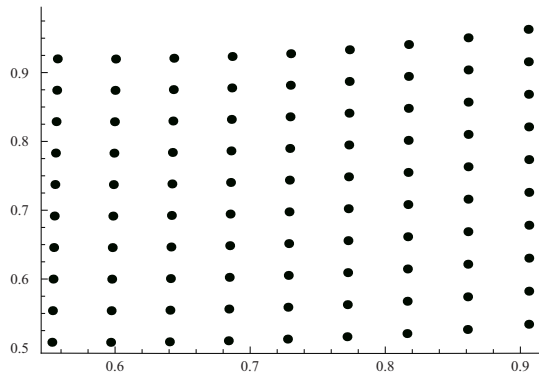


РИС. 3. Численный пример вычисления нулей в первом квадранте $x = z/\sqrt{n}$ по формулам (43) при $n = 30$, $21 \leq j$, $k \leq 30$

Замечание 1. Нетрудно проверить, что формулы (39) и (40) являются обобщением асимптотик Планшереля-Ротаха [14], упомянутых во введении. В самом деле, при вещественном z и при $t = 0$ имеем из (12) $H_{n,0}(z) = H_n(z)$, где $H_n(z)$ — классические полиномы Эрмита. Сравнение формул Планшереля-Ротаха с (39) выполнено в монографии П. Дейфта [5]. Вычисление асимптотик нулей полиномов $H_{m,n}(z)$ при произвольных $m, n \rightarrow \infty$ и $m - n = O(1)$ может быть, по-видимому, выполнено методом, подобным изложенному выше.

СПИСОК ЛИТЕРАТУРЫ

1. M. Bertola, T. Bothner *Zeros of large degree Vorob'ev-Yablonski polynomials via a Hankel determinant identity* // arXiv:1401.1408v1
2. R. J. Buckingham and P. D. Miller *Large-degree asymptotics of rational Painlevé-II functions: noncritical behaviour* // Nonlinearity 2014. V. 27. P. 2498–2578.
3. Y. Chen and M.V. Feigin *Painlevé IV and degenerate Gaussian unitary ensembles* // J. Phys. A: Math. Gen. 2006. V. 39 P. 12381–12393.
4. P.A. Clarkson *Special Polynomials Associated with Rational Solutions of the Painlevé Equations and Applications to Soliton Equations* // Comp. Methods and Function Theory 2006 V. 6 No. 2. P. 329–401.
5. P. Deift *Orthogonal polynomials and random matrices: A Riemann-Hilbert approach* // Courant Lecture Notes: New York Univ. NY, 1999.
6. P. Deift, T. Kriecherbauer, K. T.-R. McLaughlin, S. Venakides, X. Zhou *Uniform asymptotics for polynomials orthogonal with respect to varying exponential weights and applications to universality questions in random matrix theory* // Comm. Pure Appl. Math. 1999. V. 52. No. 11. P. 1335–1425
7. P. Deift, T. Kriecherbauer, K. T.-R. McLaughlin, S. Venakides, X. Zhou *Strong asymptotics of orthogonal polynomials with respect to exponential weights* // Comm. Pure Appl. Math. 1999. V. 52. No. 12. P. 1491–1552

8. A.S. Fokas, A.R. Its, A.A. Kapaev and V.Yu. Novokshenov *Painlevé Transcendents. The Riemann-Hilbert Approach*. Amer. Math. Soc. [Math. Surveys and Monographs] V. 128 Providence, RI: 2006
9. A. Fokas, A. Its and A. Kitaev *Discrete Painlevé equations and their appearance in quantum gravity* // Comm. Math. Phys. 1991. V. 142 No. 2. P. 313–344.
10. P.J.Forrester *Log-gases and random matrices*. London Math. Soc. Monographs, V. 34. Princeton University Press: 2010.
11. A.A. Kapaev, E. Hubert *A note on the Lax pairs for Painlevé equations* // J. Phys. A: Math. Gen. 1999. V. 32. No. 46. P. 8145–8156.
12. A.P. Magnus *Painleve-type differential equations for the recurrence coefficients of semi-classical orthogonal polynomials* // J. Comput. Appl. Math. 1995. V. 57. P. 215–237.
13. V.Yu.Novokshenov and A.A.Shchelkonogov *Double Scaling Limit in the Painlevé IV Equation and Asymptotics of the Okamoto Polynomials*, Advances in the Mathematical Sciences, AMS Translations // 2014. V. 233. P. 199–210.
14. M. Plancherel, W. Rotach *Sur les valeurs asymptotiques des polynomes d'Hermitte* // Commentarii Math. Helvetici 1929. V. 1 P. 227–254.
15. E.B. Saff, V. Totik *Logarithmic Potentials with External Fields* // "Grundlehren der mathematischen Wissenschaften V. 317. Springer: 1997.
16. Сегё Г. *Ортогональные многочлены*. М.: Физматгиз, 1962.
17. M. Noumi and Y. Yamada *Symmetries in the fourth Painlevé equation and Okamoto polynomials* // Nagoya Math. J. 1999. V. 153. P. 53–86.

Виктор Юрьевич Новокшенов,
Институт математики с ВЦ УНЦ РАН,
ул. Чернышевского, 112,
450008, г. Уфа, Россия
E-mail: novik53@mail.ru

Алексей Александрович Щелконогов,
Уфимский государственный авиационный технический университет,
ул. К.Маркса, 12,
450000, г. Уфа, Россия
E-mail: alexey91-91@mail.ru